

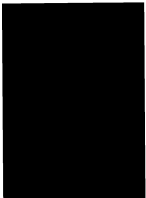


НИИОСП

**ОРДЕНА ТРУДОВОГО КРАСНОГО ЗНАМЕНИ
НАУЧНО-ИССЛЕДОВАТЕЛЬСКИЙ ИНСТИТУТ
ОСНОВАНИЙ И ПОДЗЕМНЫХ СООРУЖЕНИЙ
ИМЕНИ Н.М. ГЕРСЕВАНОВА
ГОССТРОЯ СССР**

РЕКОМЕНДАЦИИ

**ПО ПРОЕКТИРОВАНИЮ
И УСТРОЙСТВУ ФУНДАМЕНТОВ
ИЗ БУРОИНЪЕКЦИОННЫХ СВАЙ**



МОСКВА 1982

ОРДЕНА ТРУДОВОГО КРАСНОГО ЗНАМЕНИ
НАУЧНО—ИССЛЕДОВАТЕЛЬСКИЙ ИНСТИТУТ
ОСНОВАНИЙ И ПОДЗЕМНЫХ СООРУЖЕНИЙ
имени Н.М. ГЕРСЕВАНОВА
ГОССТРОЯ СССР

РЕКОМЕНДАЦИИ

ПО ПРОЕКТИРОВАНИЮ И УСТРОЙСТВУ ФУНДАМЕНТОВ ИЗ БУРОИНЪЕКЦИОННЫХ СВАЙ

МОСКВА 1982

Настоящие Рекомендации разработаны впервые, что вызвано возросшим объемом применения фундаментов из буронабивных свай в промышленно-гражданском строительстве. Рекомендации предназначены для расчета свай и усиливаемых фундаментов, содержат сведения, касающиеся производства работ, подбора составов инъекционного раствора и выбора технологического оборудования.

Применение Рекомендаций позволит в большинстве случаев существенно снизить стоимость работ, а также производить работы без останова действующих предприятий. Рекомендации разработаны сотрудниками НИИ оснований и подземных сооружений им. Н.М.Герсеванова Госстроя СССР канд. техн. наук Б.В.Бахолдиным, Х.А.Джантимировым, канд. техн. наук А.В.Бронским, канд. техн. наук Б.Д.Фаянсом и одобрены Ученым советом института.

Замечания и предложения по содержанию рекомендаций просим направлять по адресу: 109389, Москва, 2-я Институтская ул., д.6, НИИОСП

С

Ордена Трудового Красного Знамени научно-исследовательский институт оснований и подземных сооружений имени Н.М.Герсеванова, 1982

1. ОБЩИЕ ПОЛОЖЕНИЯ

1.1. Настоящие Рекомендации распространяются на расчет и проектирование фундаментов из буронагнеточных свай и технологию их изготовления. Разработаны в развитие главы СНиП II-17-77 "Свайные фундаменты. Нормы проектирования" и СНиП III-9-74 "Основания и фундаменты. Правила производства и приемки работ".

1.2. Буронагнеточные сваи являются одной из разновидностей набивных свай. Они отличаются большой гибкостью ($l/d = 80 - 120$); малым диаметром ($d = 120 - 250$ мм); материалом ствола (цементный раствор); способом изготовления (инъекция раствора в скважину).

1.3. Существует несколько видов свай, отличающихся по конструкции и способу изготовления:

изготавливаемые вытеснением бурового бентонитового раствора с опрессовкой давлением 0,2-0,4 МПа;

изготавливаемые под защитой обсадных труб с опрессовкой 0,2-0,4 МПа;

изготавливаемые путем инъекции раствора в сухие пробуренные скважины;

изготавливаемые путем сброса бетона в пробитые скважины;

винтонабивные (см. "Рекомендации по проектированию и устройству фундаментов из винтонабивных свай" (М., НИИОСП, 1979).

1.4. В зависимости от свойств грунтов, залегающих под нижним концом, буронагнеточные сваи подразделяются на свай-стойки и висячие сваи. К свай-стойкам относятся сваи, которые опираются нижними концами на скалу. Висячие сваи изготавливаются в сжимаемых грунтах и передают нагрузку на грунт боковой поверхностью и нижним концом.

1.5. Целесообразность применения буронагнеточных свай должна определяться конкретными условиями строительной площадки на основе результатов технико-экономического сравнения возможных вариантов проектных решений.

При усилении оснований существующих фундаментов буронагнеточными сваями рекомендуется выполнять сравнения со способами химического и термического упрочнения грунтов основания, заделки свай под существующие фундаменты, подведения новых фундаментов и других. При строительстве новых объектов сравнение выполняется с различными видами свай.

1.6. В рабочих чертежах свайных фундаментов должны быть указаны виды, количество и параметры свай (сечение и длина, а также несущая способность и соответствующая ей допустимая нагрузка на свай), которые требуют дополнительных уточнений путем статического испытания свай в грунте до начала или в процессе строительства.

При необходимости проектная организация должна своевременно скорректировать проект свайных фундаментов по результатам испытаний, не задерживая выполнение строительных работ.

1.7. В проектах усиления оснований и других случаях применения буронабъекционных свай при реконструкции сооружений должно быть предусмотрено проведение натуральных измерений деформаций оснований и фундаментов по специальным маркам и реперам.

Программа и результаты наблюдений, проводившихся в период строительства должны включаться в состав проектной документации, передаваемой заказчику после завершения работ.

2. ОБЛАСТЬ ПРИМЕНЕНИЯ БУРОНАБЪЕКЦИОННЫХ СВАЙ

2.1. Буронабъекционные сваи рекомендуется применять в следующих случаях:

для усиления оснований существующих зданий и сооружений;

при строительстве новых объектов в непосредственной близости от существующих;

при строительстве новых объектов в сложных грунтовых условиях.

2.2. Усиление оснований существующих зданий и сооружений

(рис. 2.1) производится обычно в следующих случаях:

при недопустимых по величине или неравномерных осадках сооружений или его части, вызванных уплотнением под нагрузкой сильно сжимаемых грунтов, замачиванием просадочных грунтов, гниением деревянных свай, перегруженностью оснований и пр.;

при увеличении эксплуатационных нагрузок (замена оборудования более тяжелым, увеличение этажности зданий, расширение проезжей части мостов, эстакад и пр.).

Применение буронабъекционных свай в этих случаях допускается в любых грунтовых условиях.

2.3. Строительство новых объектов над, под, рядом с существующими или внутри их (рис. 2.2) вызывает необходимость в усилении оснований последних для предотвращения их деформаций как при производстве работ, так и во время эксплуатации. Применение буронабъекционных свай

в этих случаях позволяет предотвратить подвижки и утечки грунта, вибрации, удары и шумы при производстве работ. Кроме того, использование буровинъекционных свай позволяет исключить влияние рядом сооруженных объектов на существующие и выполнять работы в стесненных условиях.

2.4. Условия, при которых применение буровинъекционных свай для вновь сооружаемых объектов может оказаться эффективным:

- наличие крупнообломочного материала в слабых грунтах (рис. 2.3.)
- наличие плотных слоев грунта ограниченной толщины;
- фундирование малонагруженных сооружений в грунтовых условиях II типа по просадочности.

2.5. Буровинъекционные сваи используются также в качестве элемента "сетчатых стен в грунте", применяемых как подпорные стены, в том числе для противооползневой защиты (рис. 2.4.).

3. ТЕХНОЛОГИЯ ИЗГОТОВЛЕНИЯ

3.1. Технологическая последовательность изготовления буровинъекционных свай следующая:

- бурение скважин;
- установка арматурного каркаса;
- инъекция цементно-песчаного раствора.

Рекомендуемый парк смешительного, бурового и инъекционного оборудования помещен в приложении (табл. I-9).

3.2. В зависимости от грунтовых условий, а также от области применения рекомендуется следующие технологические схемы изготовления буровинъекционных свай:

а) в маловлажных глинистых грунтах (обычно I или II тип грунтовых условий по просадочности) наиболее целесообразно применять технологию, показанную на рис. 3.1а. Скважина диаметром 13-18 см бурится установкой шнекового бурения. При этом необходимо, чтобы диаметр бурового долота превышал диаметр шнека не более чем на 0,6-1,0 см. Это обеспечивает затирание стенок скважины более влажным грунтом, поднимающимся по шнеку из забоя и препятствует осыпанию грунта после извлечения бурового инструмента из скважины. Скважины могут также пробиваться станком БС-1М или пневмопробойниками. В готовую скважину опускается каркас, затем производится инъекция цементно-песчаного раствора через шланг или бетонолитную трубу;

б) в грунтовых условиях по п. а при диаметре вертикальной

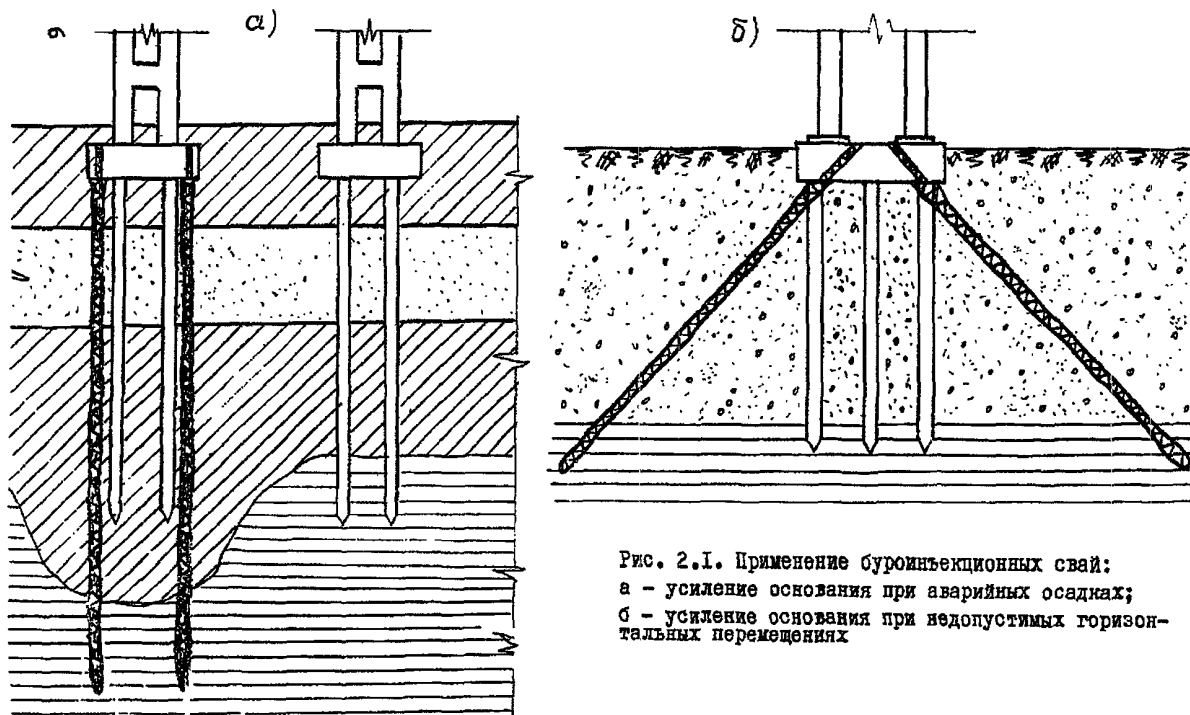


Рис. 2.1. Применение буринъекционных свай:
 а - усиление основания при аварийных осадках;
 б - усиление основания при недопустимых горизонтальных перемещениях

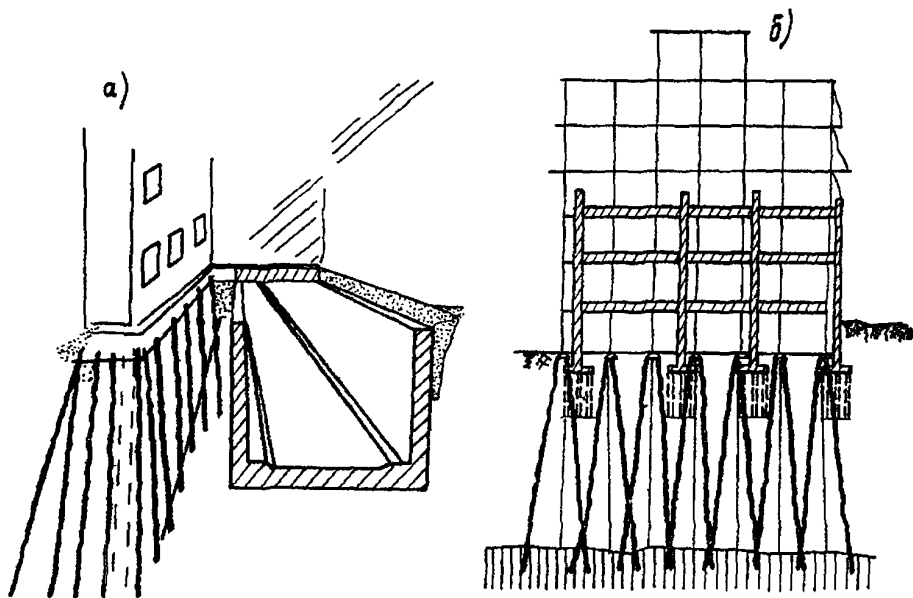


Рис. 2.2. Применение буроналивных свай:
а - строительство туннеля рядом с существующими зданиями;
б - надстройка существующего здания

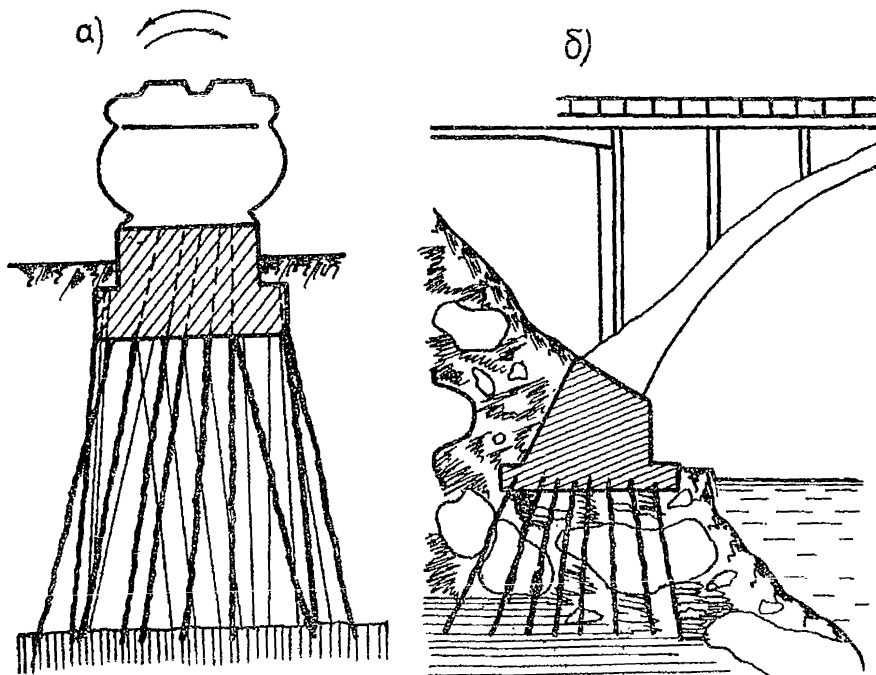


Рис. 2.3. Применение буровыекционных свай:
 а - усиление оснований фундаментов под оборудование;
 б - фундамент мостовой опоры в сложных грунтовых условиях

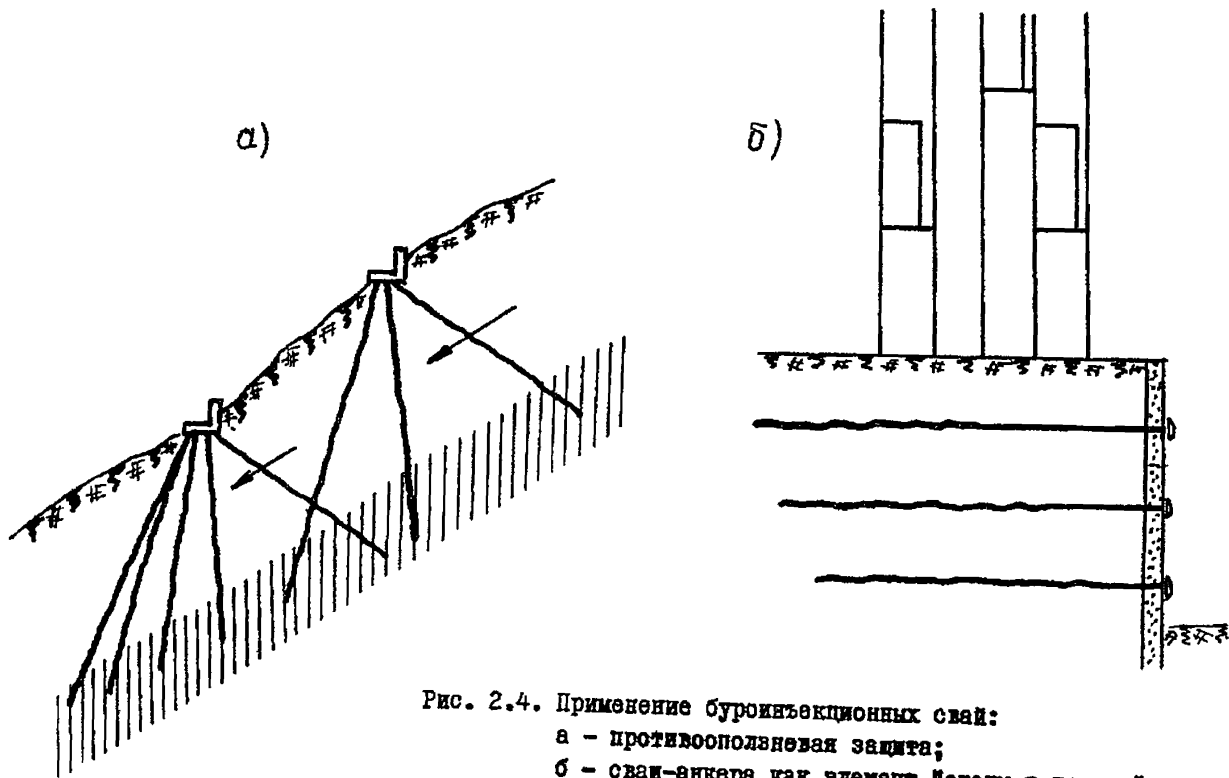


Рис. 2.4. Применение буринъекционных свай:
 а - противооползневая защита;
 б - сваи-анкера как элемент "стены в грунте"

скважины более 18 см целесообразно бетонировать скважину свободным сбрасыванием раствора с осадкой конуса 13-18 см. При этом каркасы длиной до 5 м можно устанавливать в свежеложенный раствор (рис. 3.1б);

в) в слабых, оплывающих грунтах необходимы специальные меры по креплению скважин. На рис. 3.2. показана технология изготовления свай с помощью обсадных труб. Станком вращательного или ударно-вращательного бурения бурится скважина, обсаженная трубами.

После извлечения бурового инструмента и установки каркаса обсаженная скважина заполняется раствором через инъекционную трубу или гибкий шланг. После заполнения скважины раствором инъекционная труба извлекается, на верхнюю секцию обсадных труб навинчивается крышка со штуцером для шланга к растворонасосу или компрессору, через который свежеложенный раствор опрессовывается по мере извлечения обсадных труб. Регулируя давление и расход раствора, можно получить ушрение в свае на необходимом уровне.

В тех случаях, когда забой скважины сухой, раствор заливается в обсадные трубы сверху без инъекционной трубы или шланга.

Установка фирмы "Бауэр" выполняет сваи по указанной технологии с обсадными трубами с терпящим наконечником;

г) в грунтовых условиях по п. в устойчивость оплывающих стенок скважины может быть обеспечена применением бентонитового раствора в качестве промывочной жидкости при бурении шарошечным долотом (рис. 3.3). В этом случае опрессовка выполняется через инъекционную трубу, оборудованную сальником с тампоном, устанавливаемым в устье скважины;

д) при наличии в пределах длины сваи сильнопоглощающего слоя грунта применяется технология изготовления буроинъекционных свай с трубчатым армированием (рис. 3.4). По этой технологии пробуренная скважина заполняется цементно-бентонитовым (объемным) раствором. Затем в скважину опускается труба-арматура с закрытым нижним концом и отверстиями в стенках, закрытыми резиновыми рукавами. Через 10-24 ч после схватывания объемного раствора в трубу-арматуру опускается инъекционная труба с двойными тампонами и подается цементный раствор. При этом резиновые рукава расходятся и разрывают объемный раствор, образуя ушрение в нужном месте;

е) при изготовлении буроинъекционных свай с винтовой навивкой по стволу (так называемых винтонабивных) скважина образуется путем ввинчивания в грунт полого формующего наконечника, соединенного с вращателем инъекционной трубой (рис. 3.5), в которой устанавли-

вается арматурный каркас. Свая образуется при вынуживании наконечника и подаче раствора насосом в полость, образующуюся в грунте, цементно-песчаного раствора под давлением 0,2-0,3 МПа.

3.3. В тех случаях, когда скважина бурится непосредственно в каменных или бетонных фундаментах или стенах, бурение выполняется трехшаровочным долотом с продувкой воздухом или промывкой водой. Арматура железобетонных элементов разбуривается твердосплавными шарошками или вырезается вместе с керном колонковым снарядом.

3.4. Буровые инъекционные сваи в зависимости от характера и действующих нагрузок армируются на всю длину или в пределах верхней части.

Длина секций арматуры определяется в основном высотой помещения, в котором производятся работы (не более 4,5 м).

3.5. После установки арматурного каркаса или параллельно с его установкой в скважину опускается инъекционная труба или гибкий шланг. Диаметр инъекционных труб зависит от консистенции и состава перекачиваемого раствора и должен составлять не менее 30 мм при цементном растворе и 40 мм — при цементно-песчаном.

3.6. Для инъекционных растворов рекомендуется применять портландцемент активностью не ниже 400 с нормальной густотой цементного теста в пределах 22-29%.

Для растворов применяется песок крупностью не более I мм. Подвижность свежеприготовленного раствора должна составлять не менее 12 см по стандартному конусу. Соотношение цемент:песок:вода в растворе должно быть 1:(1-2):(0,4-0,7). Водоотделение раствора через 24 ч не должно превышать 2% первоначального объема. Прочность раствора по испытаниям кубиков размером 7х7х7 см при нормальных условиях вызревания должна быть не менее 16 МПа в 7-дневном возрасте и 30 МПа в 28-дневном.

Если сваи устраиваются под вновь сооружаемый объект требования к прочности раствора могут быть понижены: до 10 МПа в 7-дневном возрасте и 20 МПа — в 28-дневном.

3.7. Состав инъекционного раствора подбирается путем опытных замесов с различным водоцементным отношением (В/Ц). Наименьшее В/Ц определяют исходя из требования подвижности по п.3.6 данных Рекомендаций, наибольшее — из требования прочности. Принимая В/Ц близким к среднему в найденных границах значению, можно получить достаточный запас прочности на всевозможные неточности при производстве работ. Принятый состав проверяется на прочность и морозостойкость в соответствии с действующими нормами.

3.8. Приготавливать растворы следует в скоростных турбулентных лопастных или пропеллерных смесителях с частотой вращения не менее 200 об/мин (см. табл. I).

3.9. Необходимо обеспечивать точное дозирование компонентов раствора, особенно воды, так как небольшие отклонения от требуемого В/Ц могут существенно изменить свойства раствора.

4. КОНСТРУИРОВАНИЕ БУРОИНЪЕКЦИОННЫХ СВАЙ И СВАЙНЫХ ФУНДАМЕНТОВ

4.1. Армирование буронагнеточных свай выполняется по расчету или назначается конструктивно. Сваи армируются одиночными арматурными стержнями, сварными каркасами, жесткой арматурой в виде проката черных металлов или металлических трубами. Арматура сваи может быть однородной на всю длину (например, свай-стойки в окружающих слабых грунтах) и комбинированной (например, труба или прокат в зоне действия изгибающего момента и каркас или одиночный стержень на всю остальную длину). В однородных грунтах допускается не армировать нижнюю часть сваяч свай.

4.2. Арматура буронагнеточных свай должна иметь фиксирующие элементы, центрирующие ее в опалубке (рис. 3.6) и обеспечивающие требуемую толщину защитного слоя бетона. Фиксирующие элементы должны привариваться с четырех сторон арматурного стержня или каркаса на расстоянии один от другого, равном шести диаметрам опалубки.

4.3. Толщина защитного слоя бетона должна быть не менее 2,5 см.

4.4. Сварной отык рабочей арматуры сваи должен соответствовать изображенному на рис. 3.7 или быть любой другой конструкции, обеспечивающей его равнопрочность и удобство производства работ по инъецированию бетона.

4.5. При конструировании вновь сооружаемых фундаментов на буронагнеточных сваях необходимо руководствоваться правилами и требованиями, предъявляемыми к конструированию фундаментов на буронагнеточных сваях и изложенных в главе СНиП II-17-77 "Свайные фундаменты. Нормы проектирования" и Настоящими Рекомендациями.

4.6. Если на фундамент действуют горизонтальная и вертикальная нагрузки, то при проектировании необходимо стремиться, чтобы центр тяжести сечений свай в любом разрезе, перпендикулярном к линии равнодействующей, находился на этой линии (рис. 4.1).

4.7. При необходимости срочного выполнения работ нулевого цикла и в других случаях допускается обратный порядок устройства свайного фундамента. Вначале устраивается ростверк, а затем через

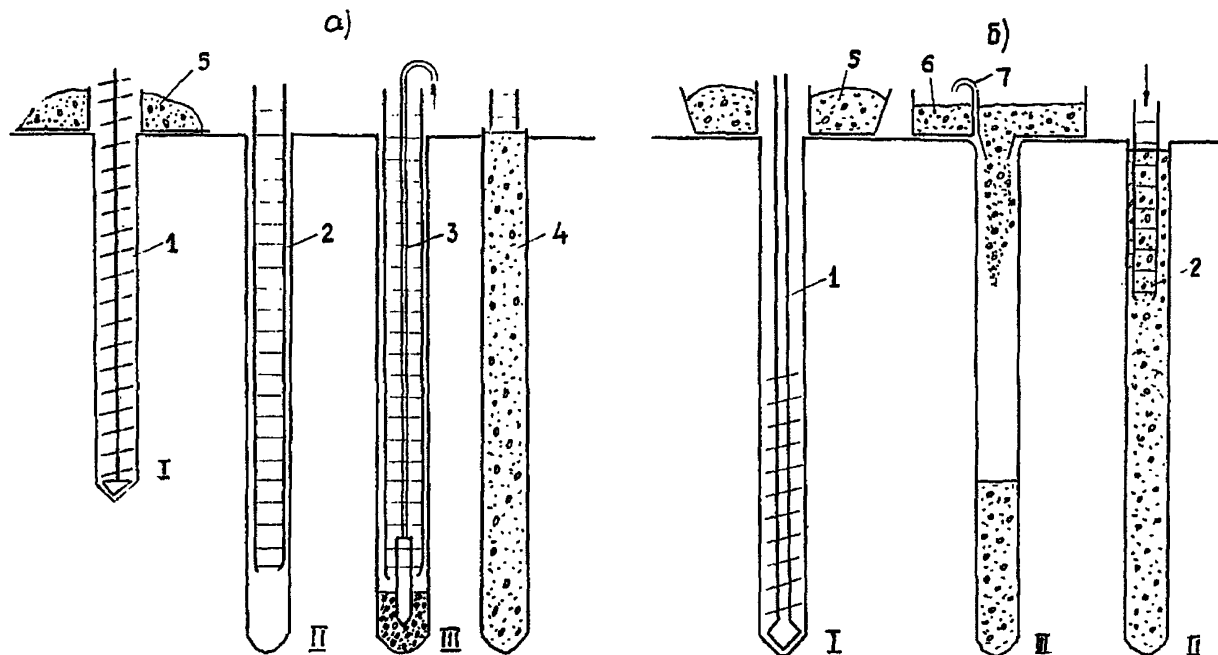


Рис. 3.1. Технологическая схема изготовления буроналивных свай в маловлажных глинистых грунтах:

I - бурение скважины, II - установка армокаркаса, III - бетонирование свай;

1 - буровой став, 2 - армокаркас, 3 - инъекционный плант, 4 - готовая свая,
5 - бункер для выбуренного грунта, 6 - бункер для бетона, 7 - дыхательная трубка

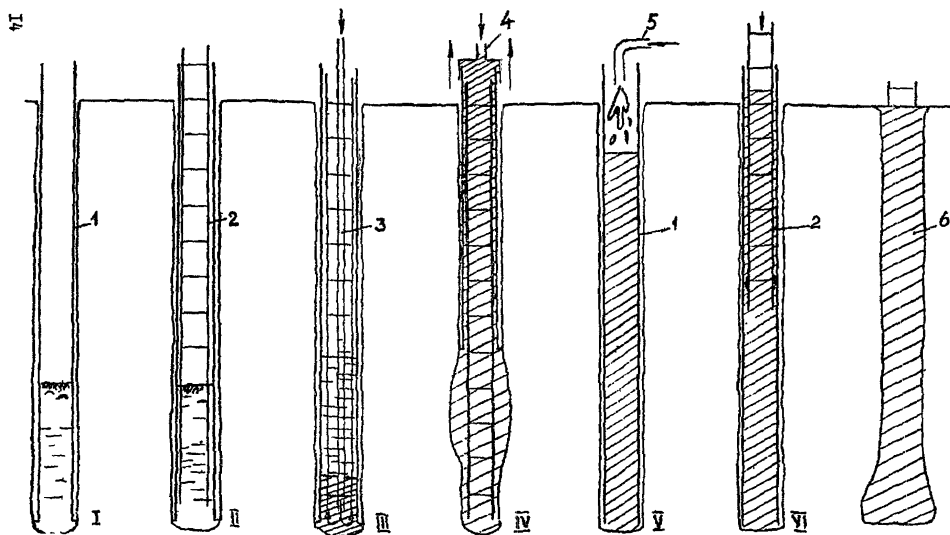


Рис. 3.2. Технологическая схема изготовления буринъекционных свай с помощью извлекаемых обсадных труб (I-IV в водонасыщенных грунтах, I, V, VI - в сухих):

- I - бурение скважины, II, VI - установка армокаркаса, III, V - бетонирование свай, IV - опрессовка скважины и извлечение обсадных труб (I - обсадные трубы, 2 - армокаркас, 3 - инъекционная труба, 4 - оголовок со штурдером, 5 - шланг растворонасоса, 6 - готовая свая)

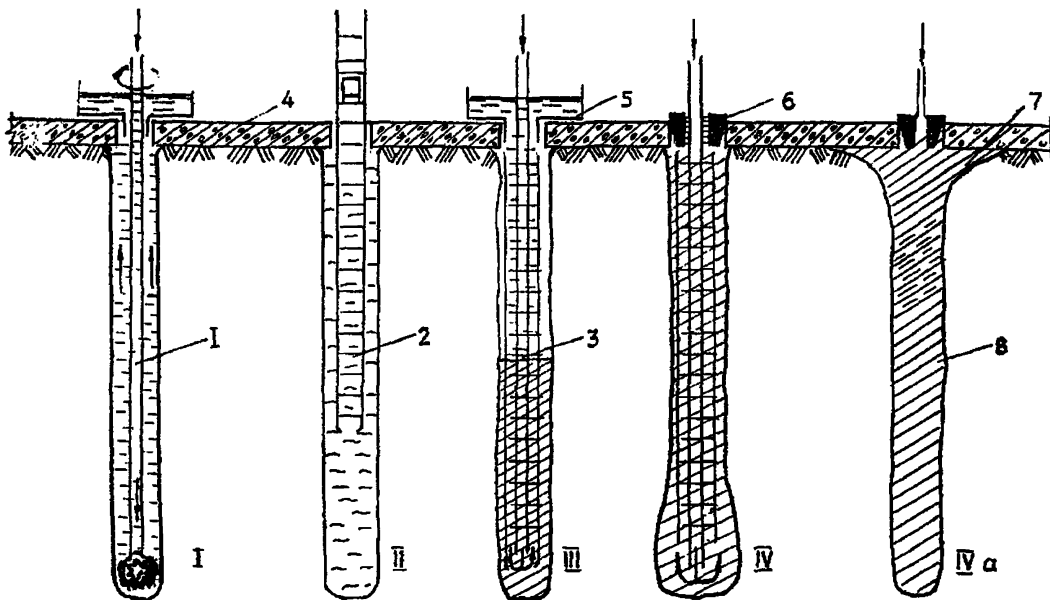


Рис. 3.3. Технологическая схема изготовления буровьекционных свай с промывкой скважин бентонитовым раствором:

I - бурение скважины шарошечным долотом; II - установка арматурного каркаса; III - установка инъекционной трубы и заполнение скважины раствором; IV - установка тампона и опрессовка скважины с забоя; IVa - опрессовка скважины с устья (4 - буровой ств, 2 - армокаркас, 3 - инъекционная труба, 4 - усиливаемый фундамент, 5 - устьевой лоток, 6 - тампон с сальником, 7 - уширенная часть свай, 8 - готовая свая)

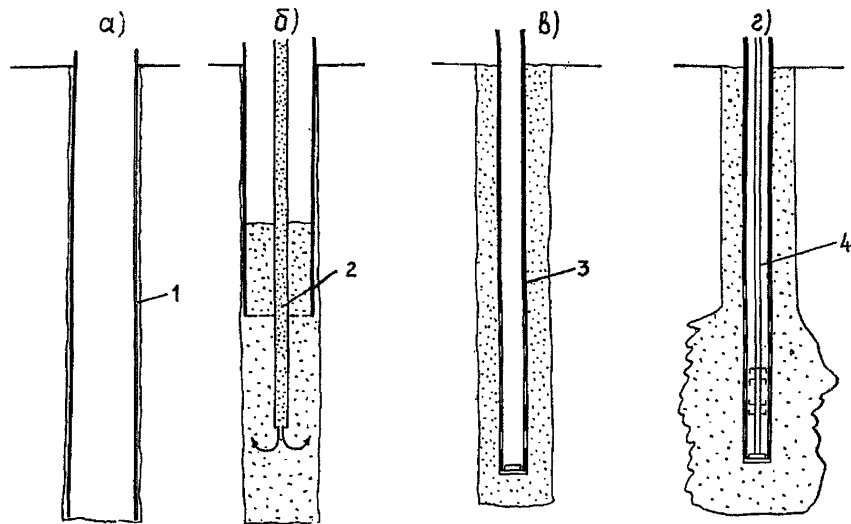


Рис. 3.4. Схема устройства микросвай с трубчатой арматурой:
 а-устройство скважины; б-заполнение скважины; в-установка арматуры;
 г-опрессовка скважины
 1-обсадная труба; 2-инъекционная труба; 3-трубчатая арматура;
 4-инъектор с двойным тампоном

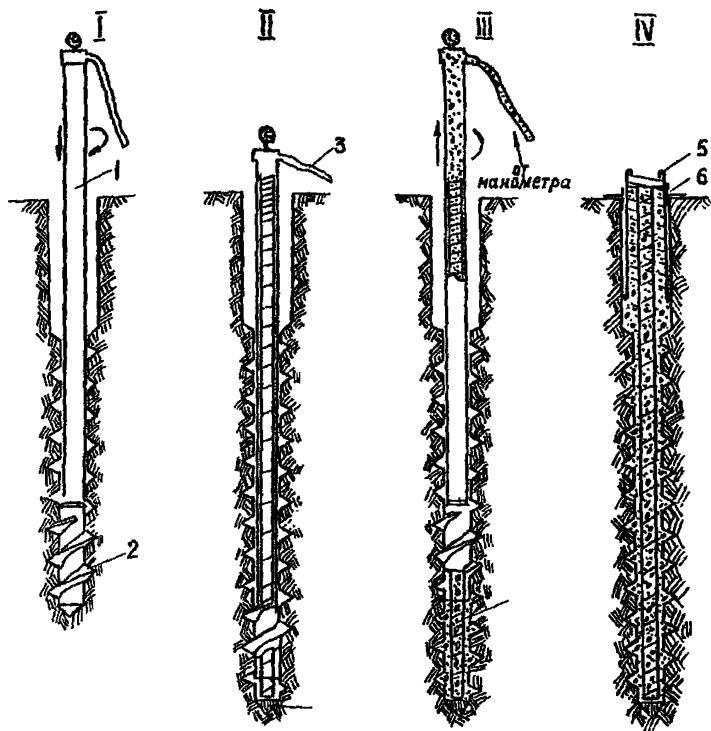


Рис. 3.5. Технологическая схема устройства винтонабивных свай:

I - устройство скважины; II - вывинчивание винтового наконечника на высоту 5-10см над забоем скважины и отделение терлемого башмака; III - бетонирование (формование) свай; IV - бетонирование и дополнительное армирование головы свай;

1 - ведущая труба; 2 - винтовой формирующий наконечник;
 3 - резиноканавный рукав; 4 - терлемый башмак; 5 - арматура;
 6 - дополнительный арматурный каркас

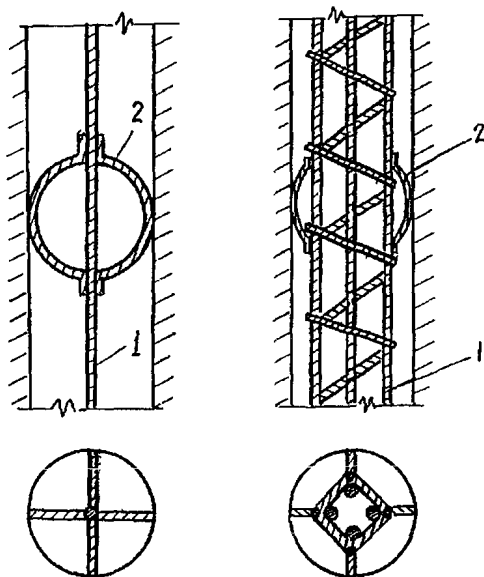


Рис. 3.6. Армирование буровинъекционных свай:
 1 - арматурный стержень или каркас;
 2 - фиксирующие элементы

специально оставляемые закладные детали изготавливаются буронагнеточные сваи (рис. 4.2). При этом обязательна опрессовка свежееуложенного раствора, если скважина сооружалась пневмическим бурением без циркуляции глинистого раствора для обеспечения уширения ствола сваи в грунте в месте сопряжения с ростверком.

4.8. При усилении оснований осуществляющих фундаментов необходимо стремиться к максимальному использованию несущей способности усиливаемого фундамента. Расчет по I и II группам предельных состояний необходимо производить с учетом совместной работы буронагнеточных свай и усиливаемого фундамента.

4.9. При усилении оснований необходимо учитывать возможное изменение статической схемы работы конструкции, например, фундаментной плиты, в связи с переносом части нагрузки на головы буронагнеточных свай (рис. 4.3).

4.10. При невозможности пробуривания скважин через тело фундамента допускается их устройство рядом с фундаментом с передачей нагрузки на сваи с помощью системы балок (рис. 4.4).

4.11. Для обеспечения совместной работы вновь вводимых свай с усиливаемым фундаментом в проекте должна быть предусмотрена надежная заделка сваи в фундаменте.

При применении глинистого раствора длина заделки сваи в фундаменте принимается равной пяти диаметрам сваи, при бурении с продувкой воздухом — четырем диаметрам.

4.12. При невозможности выполнения требований п.4.11. необходимо предусмотреть уширение ствола сваи в месте примыкания к ростверку. Отношение диаметра сваи в месте примыкания к диаметру скважины в фундаменте должно составлять не менее 1,15. Расширить ствол сваи можно промывочной жидкостью при бурении или опрессовкой свежееуложенного раствора.

5. РАСЧЕТ БУРОНАГНЕТОЧНЫХ СВАЙ ПО НЕСУЩЕЙ СПОСОБНОСТИ

5.1. При расчете несущей способности буронагнеточных свай надлежит руководствоваться требованиями главы СНиП II-17-77 "Свайные фундаменты. Нормы проектирования" и настоящими Рекомендациями.

5.2. При расчете буронагнеточных свай по прочности материала сваю следует рассматривать как упругий стержень с начальным прогибом, жестко защемленный в грунте в сечении, где модуль деформации грунта $E > 5 \text{ МПа}$.

Учет продольного изгиба производится по методу, предполагающему

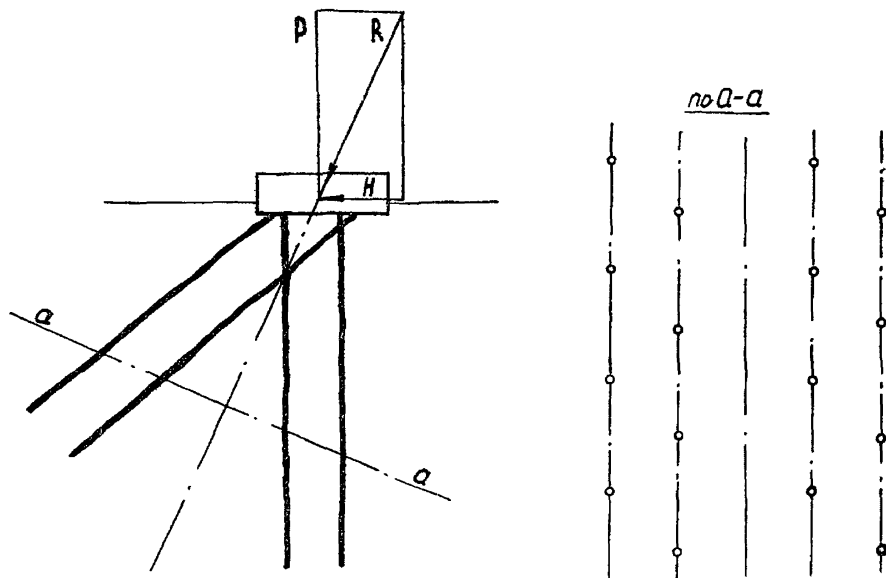


Рис. 4.1. Схема расположения свай в фундаменте, нагруженном вертикальной и горизонтальной нагрузкой

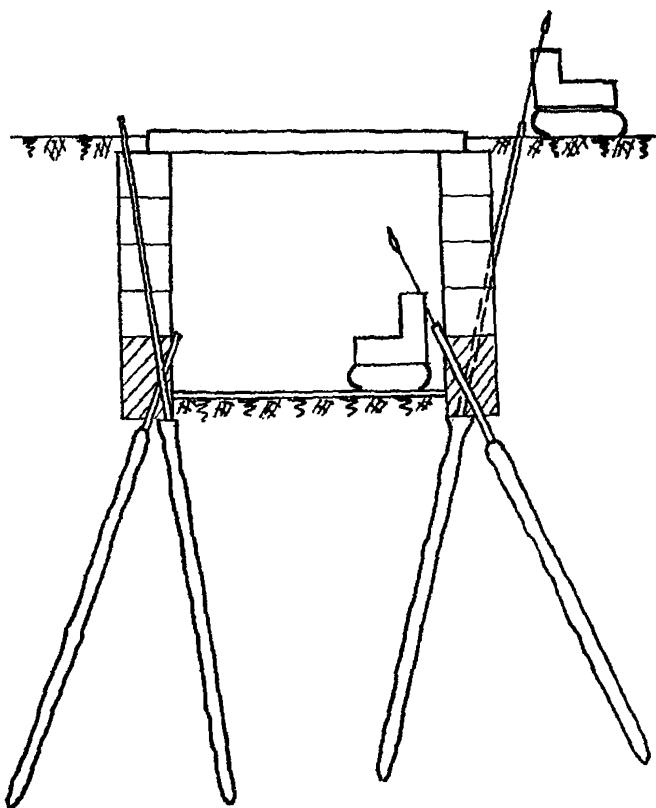


Рис. 4.2. Схема устройства свайного фундамента с обратной последовательностью производства работ

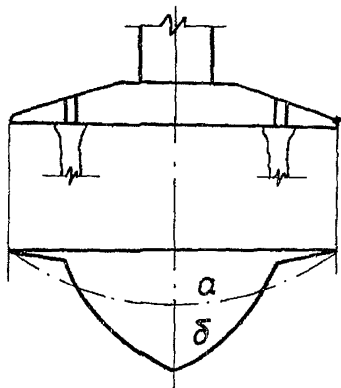


Рис. 4.3. Трансформация эпюры изгибающих моментов в фундаментной плите при усилении буронаъекционными сваями:
 а - до усиления;
 б - после усиления

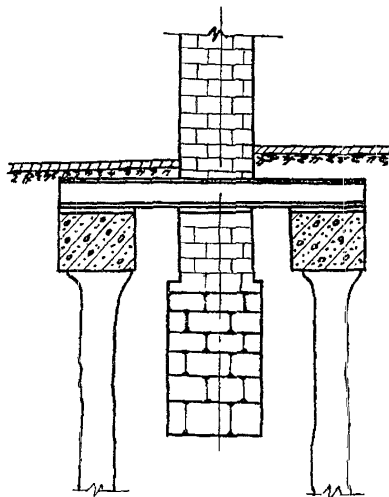


Рис. 4.4. Усиление ленточного фундамента буронаъекционными сваями

потерь устойчивости свай в слабом грунте ($E < 5 \text{ МПа}$) по нескольким полуволям, причем число полуволей зависит от соотношения жесткостей свай и окружающего грунта и практически не зависит от вида заделки в ростверке.

5.3. Метод расчета прочности ствола свай составлен на основании и в развитие главы СНиП II-2I-75 "Бетонные и железобетонные конструкции. Нормы проектирования". Прочностные и деформационные характеристики инъекционных растворов (мелкозернистых бетонов) следует определять в соответствии с "Рекомендациями по проектированию бетонных и железобетонных конструкций из мелкозернистого бетона" (письмо Госстроя СССР № НК-3388-I от I июля 1977 г.).

5.4. При расчете по прочности бетонных и железобетонных свай на воздействие сжимающей продольной силы N помимо эксцентриситета, определяемого из статического расчета конструкций, должен приниматься во внимание случайный эксцентриситет e_c , обусловленный возможным искривлением скважины при бурении. Эксцентриситет e_c определяется умножением относительного искривления оси свай (табл. 5.1) на расчетную длину полуволи ее изгиба l_0 (табл. 5.2 настоящих Рекомендаций).

5.5. Расчет буринъекционных свай по прочности выполняется в соответствии с требованиями раздела 3 главы СНиП II-2I-75, при этом значение коэффициента η , учитывающего влияние прогиба на эксцентриситет продольного усилия e , следует определять по формуле

$$\eta = \frac{1}{1 - \frac{N}{2N_{кр}}},$$

где N - осевая сжимающая нагрузка на свай;

$N_{кр}$ - условная критическая сила, определяемая по указаниям главы СНиП II-2I-75.

5.6. Несущая способность буринъекционной свай-стойки (см. п. I. 4) следует определять в соответствии с п. 5.4 главы СНиП II-17-77.

5.7. Несущую способность висячей буринъекционной свай Φ , работающей на осевую сжимающую нагрузку, следует определять по формуле

$$\Phi = m(m_R R F + u \sum m_{fi} f_i l_i), \quad (5.1)$$

где m - коэффициент условий работы свай в грунте (принимается равным 1);

m_R - коэффициент условий работы грунта под нижним концом свай, принимаемый для винтовых свай и свай в пробитых скважинах по табл. I СНиП II-17-77, а для остальных типов

- свай в соответствии с п.5.10 указанной главы СНиП.
- R - расчетное сопротивление грунта под нижним концом, принимаемое для винтовых свай и свай в пробитых скважинах по табл. 1 СНиП II-I7-77, а для остальных типов свай - по п.5.10 указанной главы СНиП;
- F - площадь опирания свай, принимаемая равной: для свай без уширения - площади поперечного сечения свай, для свай с уширением - площади поперечного сечения уширения, для винтовых свай - площади поперечного сечения по диаметру винтового выступа;
- u - периметр ствола свай, определяемый по диаметру скважины или обсадной трубы, а для винтовой свай - по диаметру винтового выступа;
- m_{fi} - коэффициент условий работы i -го слоя грунта на боковой поверхности ствола набивной свай, принимаемый по табл. 5.4 настоящих Рекомендаций;
- f_i - расчетное сопротивление i -го слоя грунта на боковой поверхности ствола, принимаемое по табл.2 СНиП II-I7-77;
- l_i - толщина i -го слоя грунта, сопрягающегося с боковой поверхностью свай.

Таблица 5.1

Относительное искривление осей свай при различных способах проходки скважин

Способы проходки	Относительное искривление
Шнековое бурение без обсадных труб	0,002
Мелонирование с обсадными трубами	0,002
Пробивка станком БС-1М со снарядом длиной 11 м	0,005
Пробивка пневмопробойником	0,03
Бурение шарошкой под бентонитовым раствором	0,005
Завивчивание формуемого наконечника	0,002

Таблица 5.2

Расчетные длины полуволи изгиба при потере устойчивости буровые секционных свай

Модуль деформации грунта, МПа	Расчетная длина l_0 , см, для свай диаметром, см				
	10	15	20	25	30
0,5	310	465	620	775	930
1,0	250	375	500	625	750
1,5	224	336	448	560	672
2,0	202	303	404	505	606
2,5	190	285	380	475	570
3,0	180	270	360	450	540
3,5	172	258	344	430	516
4,0	165	248	330	412	496
4,5	160	240	320	400	480
5,0	155	232	310	387	465

Примечания: 1. Модуль деформации слабых водонасыщенных глинистых грунтов определяют по данным компрессионных испытаний. Модуль деформации ялов допускается определять по табл. 5.3.

2. Модуль деформации просадочных грунтов определяют по данным компрессионных испытаний образцов, отбираемых в горизонтальном направлении по методике, изложенной в "Руководстве по лабораторному определению деформационных и прочностных характеристик просадочных грунтов" (М., НИИОСП, 1975).

Т а б л и ц а 5.3

Строительная классификация морских илов (морские четвертичные отложения) по Г.В.Сорокиной

Показатели физических свойств	Супесчаный			Суглинистый			Глинистый			
	1,0	2,0	3,0	1,0	2,0	2,0	1,0	2,0		
Характеристики плотности (средние)	$W = 38 \pm 6\%$ $\gamma = 1,82 \pm 0,06 \text{ г/см}^3$ $\xi = 1,038 \pm 0,168$			$W = 44 \pm 13\%$ $\gamma = 1,77 \pm 0,12 \text{ г/см}^3$ $\xi = 1,206 \pm 0,325$			$W = 88 \pm 29\%$ $\gamma = 1,5 \pm 0,10 \text{ г/см}^3$ $\xi = 2,390 \pm 0,74$			
Консистенция	1,0	2,0	3,0	1,0	2,0	2,0	1,0	2,0		
Коэффициент пористости	0,8-1,1	0,85-1,2	0,9-1,3	0,9-1,2	1,2-1,6	>1,6	1,2-1,6	1,6-2,0	2-3	>3
Модуль деформации, МПа	5,7-5,1	3,6-3,3	3,1-2,9	3,2-1,9	1,6-1,2	1,2	2,3-1,6	1,3-0,8	0,6-0,4	0,4

Таблица 5.4

Коэффициенты условий работы грунта m_f

Виды свай	Значения коэффициента m_f для различных видов грунта			
	пески	супеси	суглинки	глины
Винтовые	1,0	1,0	1,0	0,9
Устраиваемые сбросом бетона в сухие пробуренные скважины	-	0,8	0,8	0,8
Устраиваемые сбросом бетона в сухие пробитые скважины	1,0	0,9	0,9	0,8
Устраиваемые инъекцией раствора в сухие пробуренные скважины	-	0,9	0,9	0,9
Изготовленные под защитой обсадных труб с опрессовкой давлением 0,2-0,4 МПа	0,9	0,8	0,8	0,8
Изготовленные под защитой бентонитового раствора с опрессовкой давлением 0,2-0,4 МПа	0,9	0,8	0,8	0,8

6. ИНЖЕНЕРНЫЙ МЕТОД РАСЧЕТА УСИЛЕНИЯ ОСНОВАНИЙ СУЩЕСТВУЮЩИХ ЗДАНИЙ И СООРУЖЕНИЙ

6.1. Предварительные размеры (диаметр и длина) буровьекционных свай назначаются с учетом инженерно-геологических условий площадки, нагрузки, которую должны воспринимать сваи, и их несущей способности, вычисленной в соответствии с требованиями раздела 5 настоящих Рекомендаций.

Несущая способность буровьекционных свай должна уточняться по результатам их статических испытаний согласно ГОСТ 5636-78.

6.2. На основе результатов статических испытаний буровьекционных свай должны устанавливаться:

начальный коэффициент жесткости свай C_0 , кН/м;

критическая нагрузка на сваю $P_{кр}$, кН;

расчетная нагрузка, допускаемая на сваю, P^* , кН.

6.3. Значения коэффициента жесткости свай C_0 и критической нагрузки на сваю $P_{кр}$ определяются по формулам (6.1) и (6.2) как параметр прямой, построенной методом наименьших квадратов в координатах „ $C_i - P_i$ ” (рис. 6.1а):

$$C_0 = \frac{\sum_{i=1}^K C_i P_i \times \sum_{i=1}^K P_i - \sum_{i=1}^K C_i \times \sum_{i=1}^K P_i^2}{K \sum_{i=1}^K P_i^2 - \left(\sum_{i=1}^K P_i \right)^2}; \quad (6.1)$$

$$P_{кр} = \frac{\sum_{i=1}^K C_i P_i \times \sum_{i=1}^K P_i - \sum_{i=1}^K C_i \times \sum_{i=1}^K P_i^2}{K \sum_{i=1}^K C_i P_i - \sum_{i=1}^K C_i \times \sum_{i=1}^K P_i}, \quad (6.2)$$

где P_i и S_i - нагрузка и соответствующая стабилизированная осадка свай на i -й ступени;

$C_i = P_i/S_i$ - коэффициент жесткости свай на i -й ступени;

K - число опытных пар точек „ $P_i - S_i$ ”.

Значения C_0 и $P_{кр}$ используются для описания зависимости осадки свай S от нагрузки P (рис. 6.1а):

$$S(P) = \frac{P}{C_0 (1 - P/P_{кр})}. \quad (6.3)$$

6.4. Для получения расчетной нагрузки, допускаемой на сваях, результаты испытаний обрабатываются следующим образом.

Осадка сваи $S(t)$ на каждой ступени нагрузки P_i в произвольный момент времени t от начала приложения нагрузки представляется в виде

$$S(t) = S_0 (t/t_0)^{\psi_i}, \quad (6.4)$$

где S_0 - осадка сваи при нагрузке P_i за время $t=2-3$ ч;
 ψ_i - параметр, постоянный для каждой ступени нагрузки, определяемый на основе статистической обработки результатов испытаний по формуле:

$$\psi_i = \frac{\sum_{j=1}^u (\lg \frac{t_j}{t_0} \cdot \lg \frac{S(t_j)}{S_0})}{\sum_{j=1}^u (\lg \frac{t_j}{t_0})^2}, \quad (6.5)$$

где u - число опытных пар " $S(t_j) - t_j$ " .

Примечание. Параметр ψ_i является угловым коэффициентом прямой в координатах " $\lg \frac{t_j}{t_0} - \lg \frac{S(t_j)}{S_0}$ ", проходящей через начало координат (рис. 6.2а). С увеличением нагрузки значения параметра ψ_i уменьшаются (рис. 6.2б).

6.5. Зависимость параметра ψ от нагрузки P аппроксимируется функцией следующего вида (см. рис. 6.2б):

$$\psi(P) = \frac{1}{a + bP}, \quad (6.6)$$

где a и b - коэффициенты, определяемые по формулам:

$$a = \frac{1}{\Delta} \left[\sum_{i=1}^{i=k} \bar{x}_i \sum_{i=1}^{i=k} P_i^2 - \sum_{i=1}^{i=k} (\bar{x}_i P_i) \times \sum_{i=1}^{i=k} P_i \right]; \quad (6.7)$$

$$b = \frac{1}{\Delta} \left[k \sum_{i=1}^{i=k} (\bar{x}_i P_i) - \sum_{i=1}^{i=k} \bar{x}_i \sum_{i=1}^{i=k} P_i \right]; \quad (6.8)$$

$$\Delta = k \sum_{i=1}^{i=k} P_i^2 - \left(\sum_{i=1}^{i=k} P_i \right)^2; \quad (6.9)$$

$$\bar{x}_i = \frac{1}{\psi_i}; \quad (6.10)$$

K - число ступеней нагрузки, при которых зависимости осадки сваев от времени являются затухающими.

Примечание. Коэффициент a и b являются параметрами прямой, построенной методом наименьших квадратов в координатах " P_i " и " $\frac{1}{S}$ " (см. рис. 6.2в).

6.6. В качестве предельного сопротивления сваев Φ_{np} принимается нагрузка, которая вызовет к концу срока службы сооружения T осадку $S(T)$, равную предельно допустимой средней осадке сооружения $S_{np,sp}$ по табл. IV главы СНиП II-15-74. Значение Φ_{np} вычисляется по формуле:

$$\Phi_{np} = \frac{d-a}{b}, \quad (6.11)$$

$$d = \frac{\lg \frac{T}{t_{ок}}}{\lg \frac{S_{np,sp}}{S_{ок}}}, \quad (6.12)$$

где a и b - коэффициенты, определяемые по формулам (6.7) и (6.8);

$S_{ок}$ - осадка сваев за время $t_{ок} = 2 - 3$ ч после приложения последней ступени нагрузки P_K , при которой зависимость $S_K(t)$ имеет затухающий характер.

Значение Φ_{np} , вычисленное по формуле (6.11), не должно превышать значение критической нагрузки на сваев $0,7 P_{кр}$ по п. 6.3. В противном случае принимается $\Phi_{np} = 0,7 P_{кр}$.

6.7. Расчетная нагрузка, допускаемая на сваев, P^* , кН, в соответствии с пп. 4.3 и 6.3 СНиП II-17-77 определяется по формуле

$$P^* = \frac{m \Phi_{np}}{K_r K_H}, \quad (6.13)$$

где Φ_{np} - предельное сопротивление сваев, определяемое по п. 6.6, кН;

m - коэффициент условий работы (принимается равным единице);

K_r - коэффициент надежности по грунту, принимаемый по п. 6.4 СНиП II-17-77;

K_H - коэффициент надежности, принимаемый по п. 4.3 СНиП II-17-77.

6.8. Количество буронагнеточных сваев N_n , требуемое для усиления существующего фундамента на естественном основании в связи с увеличением на него нагрузки, определяется по формуле.

$$n_H = \frac{\Delta N}{P_H} - \frac{C_1}{C_{OH} (1 - P_H/P_{кр.H})}, \quad (6.14)$$

где ΔN — приращение нагрузки на фундамент, кН;

P_H — нагрузка, приходящая на одну сваю, кН;

$C_1 = \frac{N_1}{S_1}$ — коэффициент жесткости существующего фундамента, кН/м, равный отношению вертикальной нагрузки на фундамент N_1 , кН, к его стабилизированной (расчетной или замеренной) осадке S_1 , м;

C_{OH} и $P_{кр.H}$ — начальный коэффициент жесткости сваи, кН/м, и критическая нагрузка на сваю, кН, определяемые по указаниям п. 6.3.

6.9. При заданном числе свай n_H для усиления фундамента на естественном основании нагрузка на одну сваю P_H определяется при решении квадратного уравнения

$$a_1 P_H^2 - a_2 P_H + a_3 = 0 \quad (6.15)$$

по формуле

$$P_H = \frac{a_2 \pm \sqrt{a_2^2 - 4 a_1 a_3}}{2 a_1}, \quad (6.16)$$

где $a_1 = n_H$;

$$a_2 = P_{кр.H} \left(\frac{C_1}{C_{OH}} + n_H \right) + \Delta N;$$

$$a_3 = \Delta N \cdot P_{кр.H}.$$

Осадка S фундамента, усиленного буронабивными сваями, от дополнительной нагрузки ΔN определяется по формуле

$$S = \frac{\Delta N}{C_1 + m C_{OH} (1 - P_H/P_{кр.H})}. \quad (6.17)$$

6.10. Количество буронабивных свай n_H , требуемое для усиления существующего свайного фундамента в связи с увеличением

на него нагрузки, определяется по формуле

$$n_H = \frac{\frac{\Delta N}{P_H} \left(1 - \frac{P_H}{P_{кр.н}}\right) - n_c \alpha \left(1 - \frac{n_c P_c + \Delta N}{P_c P_{кр.с}}\right)}{1 + P_H \left(\frac{\alpha}{P_{пр.с}} - \frac{1}{P_{пр.н}}\right)}, \quad (6.18)$$

где ΔN — приращение нагрузки (по сравнению с действующей на свайный фундамент нагрузкой N_c), кН;

P_H — заданная нагрузка на новую сваю, кН;

n_c — число свай в существующем фундаменте;

$P_c = \frac{N_c}{n_c}$ — существующая нагрузка на сваю, кН;

$P_{кр.н}$ — критическая нагрузка на существующую (старую) сваю, кН;

$P_{кр.с}$ — то же на новую сваю, кН, определяемая по указаниям п. 6.3;

$$\alpha = C_{ос} / C_{сн};$$

$C_{ос}$ — начальный коэффициент жесткости старой сваи, кН/м;

$C_{сн}$ — то же новой сваи, определяемый по указаниям п. 6.3.

В случае, если зависимость "нагрузка-осадка" для существующих свай можно считать линейной, необходимое для усиления фундамента число свай допускается определять по формуле

$$n_H = \frac{\Delta N}{P_H} - \frac{n_c \alpha}{1 - P_H / P_{кр.н}}. \quad (6.19)$$

Примечание: При отсутствии опытных данных допускается прием принимать:

$P_{кр.с} = \varphi_{пр}$ — несущей способности существующей сваи, определяемой в соответствии с требованиями главы СНиП II-17-77;

$C_{ос} = \frac{N_c}{S_c}$ — отношению нагрузки, действующей на фундамент, к его расчетной или прогнозируемой по данным наблюдений осадке.

6.13. При заданном количестве свай n_H для усиления свайного фундамента нагрузка на одну сваю P_H определяется решением квадратного уравнения

$$b_1 P_H^2 - b_2 P_H + b_3 = 0, \quad (6.20)$$

по формуле

$$P_H = \frac{b_2 \pm \sqrt{b_2^2 - 4b_1 b_3}}{2b_1}, \quad (6.21)$$

где

$$v_1 = n_H \left(\frac{1}{P_{кр.н}} - \frac{\alpha}{P_{кр.с}} \right);$$

$$v_2 = n_H + n_c \alpha \left(1 - \frac{n_c P_c + \Delta N}{n_c P_{кр.с}} \right) + \frac{\Delta N}{P_{кр.н}};$$

$$v_3 = \Delta N.$$

6.14. Приращение нагрузки на одну свай существующего фундамента ΔP_c после усиления его буронагнеточными сваями определяется по формуле:

$$\Delta P_c = \frac{\Delta N - n_H P_H}{n_c}. \quad (6.22)$$

6.15. Осадка S свайного фундамента, усиленного буронагнеточными сваями, от дополнительной нагрузки ΔN определяется по формуле

$$S = \frac{\Delta N}{n_c C_{ос} \left(1 - \frac{P_c + \Delta P_c}{P_{кр.с}} \right) + n_H C_{он} \left(1 - \frac{P_H}{P_{кр.н}} \right)}, \quad (6.23)$$

где ΔP_c — определяется по указаниям п. 6.14.

В случае линейной зависимости "нагрузка-осадка" для существующих свай осадку допускается вычислять по формуле

$$S = \frac{\Delta N}{n_c C_{ос} + n_H C_{он} \left(1 - \frac{P_H}{P_{кр.н}} \right)}. \quad (6.24)$$

7. ПРИМЕРЫ РАСЧЕТА

Пример I. Требуется определить количество буронагнеточных свай, необходимое для усиления фундамента на естественном основании при следующих исходных данных: существующая нагрузка на фундамент

$$N_1 = 800 \text{ кН} = 0,8 \text{ МН}; \text{ предполагаемое приращение нагрузки } \Delta N =$$

$$= 800 \text{ кН} = 0,8 \text{ МН}; \text{ осадка существующего фундамента (при нагрузке}$$

$$N_1) S_1 = 3,2 \text{ см} = 0,032 \text{ м}; \text{ жесткость фундамента } C_1 = \frac{800}{0,032} = 25 \text{ МН}$$

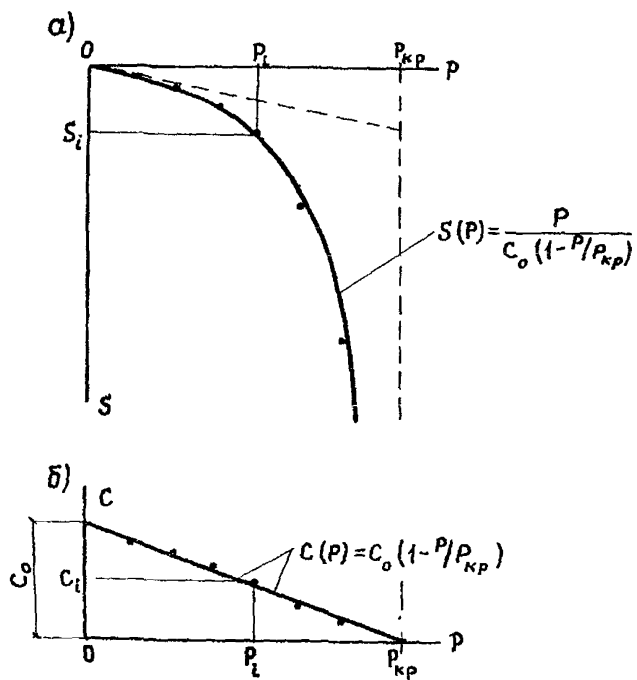


Рис. 6.1. Графики зависимостей осадки (а) и коэффициента жесткости (б) от статической нагрузки

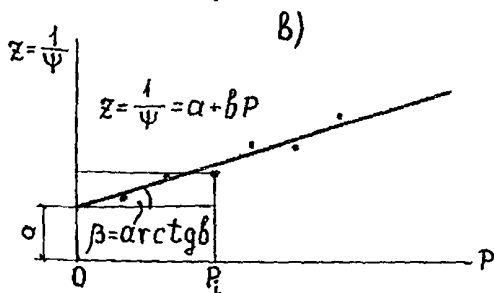
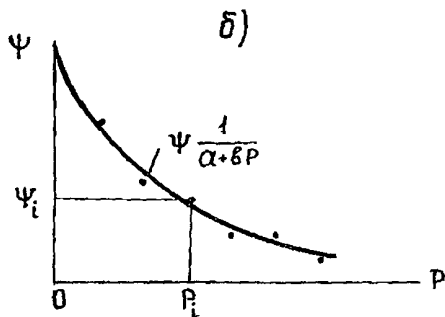
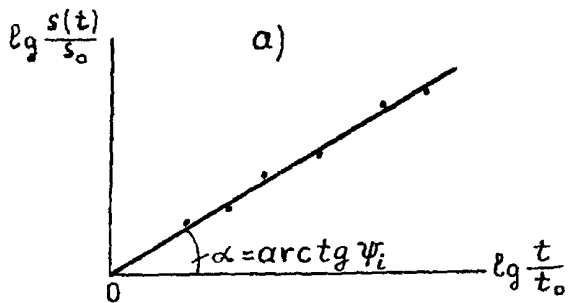


Рис. 6.2. К определению параметра $\psi(P)$

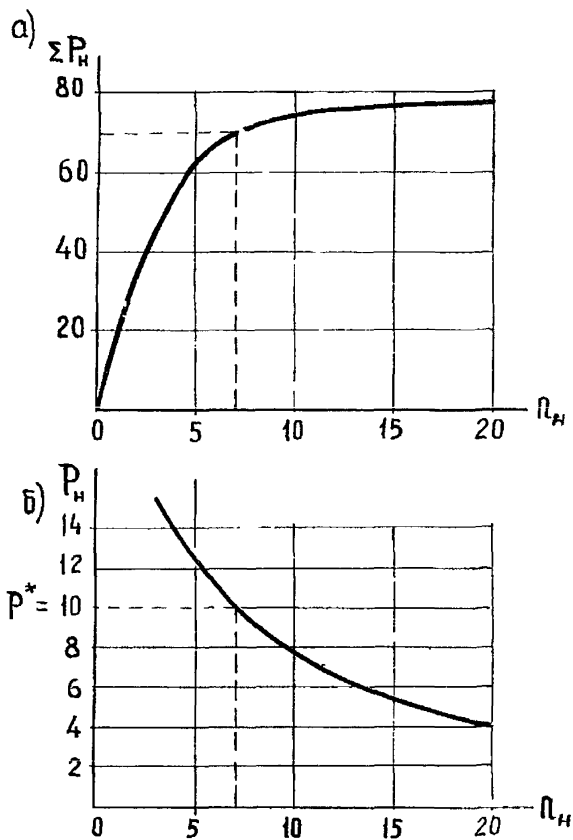


Рис. 6.3. Зависимости суммарной нагрузки, воспринимаемой новыми сваями ΣP_H (а), и нагрузки на одну свая (б) от числа буринъекционных свай

На основе статических испытаний свай получено: начальный коэффициент жесткости свай $C_{OH} = 50$ МН/м; расчетная нагрузка, допускаемая на свай $P^* = 100$ кН = 0,1 МН; критическая нагрузка на свай $P_{кр.н} = 200$ кН = 0,2 МН.

Необходимое число буровьексионных свай определяется по формуле (6.14) при $P = P^*$.

$$n_H = \frac{0,8}{0,1} - \frac{25}{50(1-0,1/0,2)} = 8 - 1 = 7.$$

Дополнительная осадка усиленного фундамента от нагрузки $\Delta \mathcal{N} = 800$ кН при $n_H = 7$ и $P^* = 100$ кН по формуле (6.17) составит

$$S = \frac{0,8}{25 + 7 \times 50 (1 - 0,5)} = 0,004 \text{ м} = 4 \text{ мм}.$$

Построим зависимости нагрузки на одну свай P и суммарной нагрузки на все свай ΣP от количества свай n_H по уравнению (6.15).

В данном случае коэффициенты этого уравнения будут равны: $a_1 = n_H$; $a_2 = 0,2 (0,5 + n_H) + 0,8 = 0,9 + 0,2 n_H$; $a_3 = 0,8 \times 0,2 = 0,16$.

Полученные результаты представлены в таблице и на рис. 6.3.

n_H	3	5	8	10	15	20
a_2 , кН	1,50	1,90	2,50	2,90	3,90	4,90
P_H , кН	154	126	90	74	51	39
ΣP_H , кН	462	630	720	740	765	780

Пример 2. Требуется определить нагрузку на одну буровьексионную свай после усиления существующего свайного фундамента при следующих исходных данных.

Существующий фундамент, воспринимающий нагрузку $\mathcal{N}_c = 1$ МН, включает 10 свай ($n_c = 10$), т.е. нагрузка на одну свай в существующем фундаменте $P_c = 0,1$ МН. На основе испытаний установлено:

$$C_{oc} = 50 \text{ МН/м} \quad P_{кр.с} = 0,2 \text{ МН}.$$

Предполагается увеличить вдвое нагрузку на фундамент ($\Delta \mathcal{N} = 1$ МН), ввести дополнительно 10 буровьексионных свай. Статические испытания опытных свай показали: $C_{OH} = 50$ МН/м и $P_{кр.н} = 0,2$ МН.

Согласно п. 6.13 нагрузку на одну буровьексионную свай определяем исходя из уравнения (6.20), вычисляя предварительно коэффи-

пленты:

$$\theta_1 = 10 \left(\frac{I}{0,2} - \frac{I}{0,2} \right) = 0;$$

$$\theta_2 = 10 + 10 \cdot 1 \left(1 - \frac{10 \cdot 0,1 + 1}{10 \cdot 0,2} \right) + \frac{I}{0,2} = 15;$$

$$\theta_3 = 1.$$

Тогда уравнение (6.20) принимает вид: $-15 P_H + I = 0$, откуда $P_H = 0,067 \text{ МН} = 67 \text{ кН}$. Суммарная нагрузка, воспринимаемая бурозвешкочными сваями $\sum P_H = 10 \times 0,067 = 0,67 \text{ МН}$.

Приращение нагрузки на старую сваю определяем по формуле (6.22):

$$\Delta P_c = \frac{I - 10 \times 0,067}{10} = 0,033 \text{ МН} = 33 \text{ кН},$$

т.е. суммарная нагрузка на старую сваю равна

$$0,1 + 0,033 = 0,133 \text{ МН} = 13,3 \text{ кН}.$$

Суммарная нагрузка, воспринимаемая усиленным фундаментом $10 \times 0,067 + 10 + 0,133 = 2,0 \text{ МН}$. Осадка усиленного фундамента от дополнительной нагрузки в формуле (6.23) равна:

$$S = \frac{I}{10 \cdot 50 \left(1 - \frac{I + 0,033}{0,2} \right) + 10 \cdot 50 \left(1 - \frac{0,1}{0,2} \right)} = 0,0024 \text{ м} = 2,4 \text{ мм}.$$

Приложение I

Техническая характеристика станков вращательного бурения

Показатели	Стационарные					Самоходные			
	ЗИВ-150	ЗИВ-300М	ЗИВ-650А	СБА-500	УРБ-50А(М)	СБУ-150-ЗИВ(ЗИФ)	СБУ-300-ЗИВ	УРБ-2А	БУЛИЗ-15
Глубина бурения, м	150	300	650	300	50-100	150	300	200	15
Диаметр бурения, мм	59-111	59-150	76-250	151	59-250	59-152	76-131	76-146	64-150
Угол бурения к горизонту, град	0-360	45-90	45-90	45-90	90	90	90	90	90
Тип мачты и ее высота, мм	Н-18	Н-18	Н-22	-	8000	9430	9430	9580	-
Тип ходовой части	-	-	-	-	ГАЗ-63А ГАЗ-66	ЗИЛ-157	МАЗ-200	ЗИЛ-157	УАЗ-69
Габаритные размеры установки, мм									
длина	2018	5570	2690	1670	7200	8230	8200	13200	2600
ширина	1774	2430	1360	1130	2000	2350	2800	2250	1750
высота	800	1940	2260	1620	3000	3200	3640	3300	3500
Масса установки, кг	900	1380	2500	1318	5100	9000	12500	10351	2000

Техническая характеристика станков вращательного бурения
с пневматической подачей

Показатели	АБВ-2	АБВ-1	СБР	"Рекорд"
Диаметр скважины, мм	85	70-90	115	75
Глубина бурения, м	40	50	50	40
Векр скважины, град:				
вертикальных	0-50	0-90	0-15	360
горизонтальных	0	-	-	360
Габаритные размеры, м:				
высота	1	0,940	0,4	1,9/2,2
ширина	0,42	1,67	1,37	0,4
длина	1,5	2,5	0,9	1,3
Полная масса, кг	190	400	250	160
Скорость подачи шпинделя, мм/мин	0-3000	0-3000	0-3000	0-3000
Длина подачи шпинделя, мм	500	500	800	800
Осевое усилие, кН	5,0	7,6	7,8	6,0
Диаметр штанги, мм	42	33,5	50	33,5
Длина штанги, мм	2600	1200	-	-
Мощность двигателя станка, кВт	4,5	4	4	4,5

Приложение 3

Техническая характеристика станков вращательного бурения с гидравлической подачей

Показатели	БАН-5	СБ-4	БСН-1	БСН-2	БСБ-2т	АБН-2	АБН-1	И-23	БАН-150
Диаметр скважины, мм	150	150	150	150	200	97-145	90-118	145	150
Глубина бурения, м	50	50	50	50	350	100	100	50	50
Векр скважины, град:									
вертикальных	360	180	360	90 15	120	0-360	0-180	0-360	0-360
горизонтальных	0	0	360	0	360	0,360	=	-	-
Габаритные размеры, м:									
высота	1,5	1,2	2,25	1,55	1,47	1,6+3,36	2,4+3,8	1,58	2,0
ширина	0,95	0,75	1,4	1,0	0,88	1,3	1,3	1,55	1,246
длина	1,4	2,5	2,15	1,9	1,74	3,0	3,22	3,14	2,0
Полная масса, кг	833	1330	2500	1050	2100	4755	4750	1600	1600
Скорость подачи шнека, мм/мин	0-3000	0-3200	0-3000	0-3000	-	0-7000	0-4380	0-3000	0-3000
Длина подачи шнека, мм	530	500	500	400	600	300	300	400	400
Осевое усилие, кН	80	60	50	30	60	100	67	120	50
Диаметр штанги, мм	89	89	50	50	73	73;89	68,5;73	127	89
Длина штанги, мм	1060	1000	-	-	-	950	1100	1100	865
Мощность двигателя станка, кВт	17	14	11,5	11,5	11,8	30	28	28	28
Способ транспортировки			Ручная поузловая				Самходная	Ручная поузловая	

**Техническая характеристика буровых агрегатов с пневмоударниками
для подземных условий**

Показатели	НКР-100М	АБ-2	ЛПС-3	БМН-5
Диаметр коронки, мм	105-110	80-88	130-150	105
Тип пневмоударника	П - I - 75	-	П - 150	М - 1900
Глубина скважины, м	50	100	30-50	50
Диаметр штанги, мм	63	38	50	50
Рабочая длина штанги, мм	1200	-	1000	1230
Масса штанги, кг/м	9,5	7,4	6,5	6,5
Подача бурового раствора	Автоматическая пнев- матическая	Пневмати- ческая	Пневмати- ческая	Пневматическая
Угол подачи, мм	365	600	1100	1300
Скорость вращения става штанг, об/мин	76	0-208	30-60	44-76
Рабочее давление сжатого воздуха, МПа	0,5	0,5	0,5	0,5
Габаритные размеры станка, мм:				
длина	1500	1420	2400	1800
ширина	650	1040	270	960
высота	620	2200	480(2000)	650-1800
Масса станка, кг	360	280	335	150
Направление бурения		Верх	Верх	Верх
	0-360°	0-360°	0-360°	0-360°
Размеры выработки, м	2x2,2	2x2,5	2,6x2,6	2x2

Приложение 5

Техническая характеристика пневмоударника

Показатели	М-1900	П-1-75	П-150	М-48
Диаметр, мм				
коронки	110-115	100-110	150	105-110
корпуса ствола	86	90	110-112	92
цилиндра	62	75	98	74
Длина, мм				
с коронкой	528	-	455	-
без коронки	-	450	-	-
Мощность ударника, кВт	2,59	2,16	3,7-4,4	3,1
Число ударов в минуту	1900	2300	2500	1800
Работа единичного удара, Дж	75	75-95	90-110	98
Ход поршня, мм	70	65	55	70
Расход воздуха при давлении 0,5 МПа, м ³ /мин	4-6	4,3	4,5	6,8
Масса пневмоударника без коронки, кг	12,8	14,5	20,7	16,1
Механическая скорость бурения по крепким породам, мм/мин	33	35	40	40

Приложение 6

Краткая техническая характеристика сито-гидро- циклонной установки 4СГУ2

Производительность, л/с	60
Количество вертикальных шламони- кассов ВШН-150	I
Тип электродвигателя насоса	А 073-4
Количество вибросит	I
Частота колебаний сетки вибросит в мин	1400, 2000
Размер ячеек сетки в свету, мм	4x4, 5x5
Количество гидроциклонов	4
Диаметр гидроциклонов, мм	150
Наименьшее допустимое давление	
перед гидроциклонами, МПа	0,18
Наименьший размер удаляемых из раствора частиц (при плотности раствора $\rho=2,5 \text{ г/см}^3$), мм	0,06
Габаритные размеры установки, мм :	
длина	2760
ширина	2000
высота	2150
Масса установки, кг	1960

Приложение 7

Краткая техническая характеристика оборудования для
приготовления и нагнетания цементирующих растворов

Смесители

Наименование параметров	РМ-300	РМ-500	РМ-750	Турбо-80
Полезная емкость, л	300	500	750	135
Частота вращения турбины, об/л	350	475	570	400
Электродвигатель	АО-52-6	АО-52-6	АО2-51-4	
Мощность электродвигателя, кВт	4,5	4,5	7,5	15
Число оборотов электродвигателя, об/мин	950	950	1440	
Направление вращения турбины	Правое	Правое	Правое	
Габаритные размеры, мм				
высота	1431	1544	2000	
ширина	1110	1158	1100	
длина	1393	1672	1450	

Растворонасосы

Параметры	СО-48	СО-49
Производительность на выходе из растворонасоса, м ³ /ч, не менее	2,0	4,0
Максимальное давление, МПа, не менее	1,5	1,5
Консистенция перекачиваемых растворов по конусу СтройНИИИ, см, не менее	7	7
Крупность фракций в растворе, мм, не более	5	5
Дальность подачи (при конусот. р-ра 10 см), м		
по горизонтали	50	150
по вертикали	15	30
Тип электродвигателя	АОИ2-3И-4	АОИ2-32-4
Условный проход металлического растворовода, мм	40	40
Характеристика вибростыа:		
производительность, м ³	4	4
емкость бункера, м ³	0,16	0,16
размер ячейки сетки, мм	5x5	
Габаритные размеры комплекта, мм:		
длина	3000	
ширина	800	
высота	1200	
Общая масса комплекта, кг, не более	450	587

СОДЕРЖАНИЕ

1. Общие положения	8
2. Область применения буронаъекционных свай	4
3. Технология изготовления	5
4. Конструирование буронаъекционных свай и свайных фундамен- тов	12
5. Расчет буронаъекционных свай по несущей способности	19
6. Инженерный метод расчета усиления оснований существующих зданий и сооружений	28
7. Примеры расчета	33
Приложения	39

НИИ оснований и подземных сооружений имени Н.М.Герсеванова
Рекомендации по проектированию и устройству фундаментов
из буронабивных свай

Отдел патентных исследований и научно-технической информации
Зав. отделом А.И.Юшин
Редактор Т.А.Печенова

Л-109697 Подп. в печать 25.11.81. Заказ № 1649 . Формат 60x90 1/16
Бумага офсетная. Набор машинописный. Уч.-изд.л. 3,05. Тираж 500 экз.
Цена 20 коп. Заказное

Отпечатано в Производственных экспериментальных мастерских ВНИИСа
Госстроя СССР
121471, Москва, Можайское шоссе, 25